

Предельное условие  $p_{\max} = (\gamma + 1)b/\gamma$  определяет границу области запирания (рис 3). Конвективное горение в этой области заведомо неустойчиво, так как давление в зоне горения и скорость КГ неограниченно возрастают в результате запирания течения в зоне диспергирования. Если оценки провести для условий, в которых были рассчитаны зависимости  $v(p_{\max})$ , приведенные на рис. 1, то видно, что кривая 1 в данном интервале давлений целиком попадает в область запирания, а кривая 2 — начиная с давления 15 атм. Таким образом, стационарный режим КГ, рассмотренный в данной работе, существует в сравнительно узком диапазоне давлений и характеризуется сильной зависимостью скорости распространения от давления. Этим объясняется легкость, с которой КГ взрывчатых веществ, запрессованных в прочные оболочки, переходит в детонацию [6]. Диспергирование «вбок», возникающее в образцах небольшого диаметра, которые помещаются в мягкие, разрушающиеся оболочки, сужает область запирания и является фактором, стабилизирующим горение, как это и наблюдается на опыте [2].

Возможны другие модели, учитывающие неодномерные эффекты при конвективном горении и приводящие к тому же «стоку» газа, который мешает фильтрации, что и в случае модели двойной пористости. В [8] показано, что наличие U-образных пор существенно облегчает самопроизвольное проникновение горения в поры.

Авторы благодарны А. А. Сулимову за обсуждение физической модели процесса и замечания при постановке работы.

Институт химической физики  
АН СССР,  
Москва

Поступила в редакцию  
23/II 1976

#### ЛИТЕРАТУРА

1. K. K. Kuo, M. Sutherland. AIAA J., 1974, 12, 1, 49.
2. B. Ф. Дубовицкий, В. Г. Коростелев и др. ФГВ, 1974, 10, 6.
3. K. K. Kuo, M. Sutherland. XV (Int.) Symposium on Combustion. Abstracts, Tokyo, Japan, 1974.
4. B. С. Ермолаев, Б. А. Хасаинов и др. ФГВ, 1975, 11, 5.
5. B. S. Ермолаев, А. А. Борисов, В. А. Хасаинов. AIAA J., 1975, 13, 8.
6. А. Ф. Беляев, В. К. Боболов и др. Переход горения конденсированных систем во взрыв. М., «Наука», 1973.
7. Г. И. Баренблatt, В. Н. Ентов, В. М. Рыжик. Теория нестационарной фильтрации жидкости и газа. М., «Недра», 1972.
8. А. Д. Марголин, В. Н. Маргулис. ФГВ, 1969, 5, 1.

#### КАТАЛИЗ И ИНГИБИРОВАНИЕ ГОРЕНИЯ В СЛОЕВОЙ СИСТЕМЕ ПХА — ПММА

В. Ф. Мартынюк, Н. Н. Бахман, И. Н. Лобанов

Горение систем, состоящих из контактирующих между собой плоских или цилиндрических слоев горючего и окислителя (сэндвичей) представляет значительный интерес для теории горения конденсированных смесей. Слоевые системы удобны при экспериментальном исследовании формы горящей поверхности и структуры пламени и позволяют сделать заключение о месте действия катализаторов. С теоретической точки зрения сэндвич — единственная система, для которой удается

получить уравнение для скорости горения с учетом двумерности задачи, а также рассчитать форму горящей поверхности.

В первых экспериментальных работах, посвященных горению слоевых систем [1—3], рассматривался случай, когда каждый из компонентов в отдельности не способен к горению в инертной атмосфере (например,  $KClO_4$  — полиметилметакрилат). Именно этот случай рассмотрен в теоретических работах, посвященных горению слоевых систем [4—8].

В большинстве экспериментальных работ [9—19] рассмотрен другой случай, когда окислитель (как правило, перхлорат аммония) способен к самостоятельному горению (в том диапазоне давления, в котором проведены опыты). Закономерности горения и прежде всего форма горящей поверхности для этих случаев могут существенно различаться.

В данной работе изучены закономерности катализа при горении слоевых систем перхлорат аммония (ПХА) — полиметилметакрилат (ПММА). Исследованы возможности ингибирования распространения пламени с помощью тонких пленок, нанесенных на поверхность контакта горючего и окислителя. Проведены одновременные измерения угла выгорания в слое окислителя и в слое горючего, что позволило оценить среднее соотношение между горючим и окислителем в зоне горения.

### Методика проведения опытов

Пластины ПММА размером  $10 \times 30 \times 5$  мм<sup>3</sup> нарезались из листового плексигласа. Использовались промышленные пленки поликарбоната (ПК) толщиной 25 мкм, политетрафторэтилена (фторопласт-4, ФП-4) толщиной 10 и 30 мкм, полизилентерефталата (ПЭТФ) толщиной 25 мкм. Порошкообразный ПХА (техн.) высушивался 24 ч в сушильном шкафу при 80°C и просеивался через сито с просветом ячеек 100 мкм. В качестве катализатора использовалась окись железа (ч. д. а.) с удельной поверхностью 5—6 м<sup>2</sup>/г.

Из порошкообразного ПХА или ПХА, смешанного с  $Fe_2O_3$  (смешение проводилось в лабораторном смесителе в течение 3 ч), прессовалась плоские заряды размером  $30 \times 10 \times (6-10)$  мм<sup>3</sup>. В случае составных зарядов (слой чистого ПХА + слой катализированного ПХА) сначала прессовался чистый ПХА, а затем на поверхность полученного заряда в пресс-форму засыпался необходимый слой катализированного ПХА и проводилось повторное прессование.

Пластины ПММА и ПХА (без катализатора, с катализатором или составная) прижимались одна к другой с помощью струбцины. В нескольких сериях опытов между пластинами помещались (в один или несколько слоев) полимерные пленки. Боковая поверхность ПХА бронировалась цементом-фосфатом, а затем на боковую поверхность всего заряда наносился слой эпоксидной смолы.

Скорость стационарного горения зарядов определялась в бомбе объемом 2 л в атмосфере азота с помощью фотoreгистратора ФР-14. Заряд поджигался с помощью никромовой спирали одновременно вдоль всей линии контакта горючего с окислителем на верхнем торце. Давление в бомбе в ходе опыта повышалось не более чем на 5%. Форма фронта горения исследовалась с помощью кинокамер «Красногорск» и «Пентацет-16» со скоростью съемки 48 и 300 кадров/с соответственно. Величина скорости горения усреднялась по 3—5 опытам. Исследовалась также форма поверхности зарядов, погашенных путем быстрого ( $\sim 4 \cdot 10^3$  атм/с) сброса давления в бомбе (методика гашения была такой же, как в [20]). Погашенные образцы обмерялись с помощью оптического микроскопа с микрометрической подачей по трем взаимно перпендикулярным осям. Шар по горизонтали был взят равным 100 мкм, глубина выемки измерялась с точностью 5 мкм. Результаты опытов усреднялись по пяти измеренным профилям.

## Результаты опытов и обсуждение

**Влияние катализатора на скорость распространения пламени вдоль поверхности контакта компонентов.** Действие катализаторов на скорость горения сэндвичей ПХА — связка исследовалось в [11, 17, 19]. Показано, что катализатор, введенный в слой связки, практически неэффективен. Эффективность катализатора, введенного в слой окислителя, близка к его эффективности в смесевых системах. В [19] исследовалось также действие слоя катализатора, нанесенного на поверхность контакта горючего и окислителя, однако толщина слоя катализатора не контролировалась.

В данной работе катализатор вводился в слой окислителя. Были исследованы четыре типа зарядов:

- 1) цилиндрические заряды катализированного ПХА в инертной оболочке (цемент-фосфат);
- 2) пластина ПММА, к которой прижат слой ПХА (чистого или катализированного);

3) пластина ПММА, к которой прижат слой (толщиной  $\Delta$ , изменявшийся в пределах от 0 до 1 мм) катализированного ПХА, а поверх него — слой чистого ПХА;

4) пластина ПММА, к которой прижат слой ( $\Delta=0 \div 1$  мм) чистого ПХА, а поверх него — слой катализированного ПХА.

Рассмотрим полученные результаты. При  $p \leq 70$  атм и соответственно при скорости горения  $< 8$  мм/с слоевая система (ПХА+ $\text{Fe}_2\text{O}_3$ ) — ПММА горела быстрее, чем заряды ПХА+ $\text{Fe}_2\text{O}_3$  в обмазке из цемент-фосфата. Результаты, полученные при добавке 1%  $\text{Fe}_2\text{O}_3$ , приведены в табл. 1.

При  $p \leq 70$  атм пламя горючее — окислитель увеличивало скорость горения катализированного ПХА. По мере увеличения скорости горения (за счет увеличения давления) эта прибавка в скорости горения постепенно исчезала. Данний результат согласуется с представлениями о влиянии горючего на скорость горения ПХА, изложенными в [21].

Эффективность действия катализатора (1%  $\text{Fe}_2\text{O}_3$ ) в слоевой системе заметно возрастила с ростом давления:

$p$ , атм	$u$ , мм/с	$z = u/u_0$
30	3,3	1,37
40	4,25	1,60
50	5,6	1,61
70	7,85	1,65

Аналогичный результат наблюдается для обычных смесей ПХА+ПММА [22].

Зависимость скорости горения и эффективности действия катализатора (при  $p=40$  атм) от процента катализатора характеризовалась следующими цифрами:

$\text{Fe}_2\text{O}_3$ , %	0	0,5	1	2	3	5
$u$ , мм/с	2,65	3,0	4,28	5,20	3,54	3,52
$z = u/u_0$	—	1,13	1,62	1,96	1,34	1,33

Максимальное значение  $z_{\max} \approx 2$  достигается при содержании  $\text{Fe}_2\text{O}_3$  около 2%. Близкие значения были получены в [23] для чистого ПХА в инертной оболочке ( $z_{\max} = 1,8 \div 1,9$  достигался при содержании  $\text{Fe}_2\text{O}_3$ , равном 0,75—1%). Для стехиометрической мелкодисперсной смеси ПХА+ПММА  $z_{\max} = 1,36$  [22].

Представляют интерес опыты с зарядами третьего и четвертого типа. Из рис. 1 следует, что для зарядов третьего типа при увеличении толщины слоя  $\Delta$  катализированного ПХА скорость горения сначала возрастет, но начиная с  $\Delta_*$  становится практически постоянной. Для зарядов четвертого типа по мере увеличения толщины прослойки чистого ПХА, помещенной между пластиной ПММА и слоем катализированного ПХА, скорость горения сначала снижается, но при некоторой достаточно большой толщине (которая в пределах разброса совпадает с  $\Delta_*$ ) становится практически постоянной. Значение  $\Delta_*$  слабо зависит от давления (в интервале 10—40 атм) и составляет 400—500 мкм. Величина  $\Delta_*$  позволяет оценить ширину зоны, на которую распространяется действие катализатора.

**Влияние полимерных пленок, нанесенных на поверхность контакта горючего и окислителя.** В [2] было показано, что тонкие пленки фторопласта-4 и особенно полиэтилентерефталата (ПЭТФ) предотвращают горение в системе  $KClO_4$  — ПММА (или значительно снижают скорость пламени).

В данной работе изучено действие тонких пленок поликарбоната, фторопласта-4 и полиэтилентерефталата на горение слоевой системы ПХА — ПММА (рис. 2—4). Все изученные пленки уменьшают скорость распространения пламени вдоль границы контакта горючее — окислитель. Уменьшается и устойчивость горения: часть зарядов сгорает не до конца. Точки, соответствующие этому случаю, обведены на графиках кружками.

Для пленки ПК при  $p=5$  и 10 атм существует четко выраженная критическая толщина  $\Delta_{kp}$ , при которой пленки ПК полностью предотвращают горение ПММА (горение затухает на расстоянии  $\leq 1$  мм). При  $p=5$  атм  $\Delta_{kp} \approx 50$  мкм, а при  $p=10$  атм  $\Delta_{kp} \approx 100$  мкм.

Рассмотрим форму кривой  $u(\Delta)$  (рис. 2—4). Для пленок ФП-4 и ПЭТФ при всех изученных давлениях, а для пленок ПК при  $p=20$  атм по мере увеличения  $\Delta$  скорость горения сначала снижается, но затем зависимость  $u(\Delta)$  ослабляется. Плато на кривой  $u(\Delta)$  соответствует скорости горения системы ПХА — пленка при наличии «дежурного пламени» подложки из ПММА. Если толщина пленки слишком велика, «дежурное пламя» слабо влияет на «носик» пламени и горение может затухнуть.

При достаточно высоком давлении фторопласт-4, полиэтилентерефталат и поликарбонат, по-видимому, уже не нуждаются в таком «дежурном пламени». Были проведены опыты с системой ПХА — фторопласт (пластина толщиной 5 мм). Испытано 6 образцов. При  $p=30$  атм 4 заряда воспламенить не удалось, а для двух зарядов наблюдалось распространение пламени на расстоянии 4 и 5 мм соответственно.

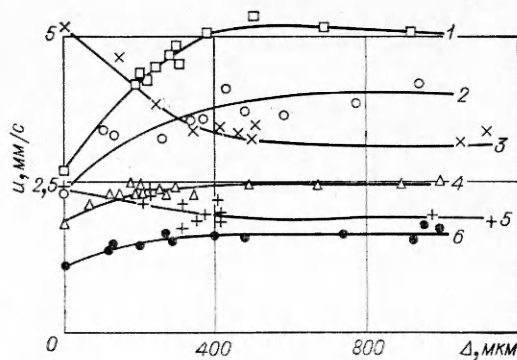


Рис. 1. Зависимость скорости горения составных зарядов от толщины  $\Delta$  слоя, контактирующего с пластиной ПММА, при различных давлениях.  
1, 2, 4, 6 — слой ПХА + 2%  $F_2O_3$ ; 3, 5 — слой ПХА.  
 $p$ , атм: 1 — 40, 2 — 30, 3 — 40, 4, 5 — 20, 6 — 10.

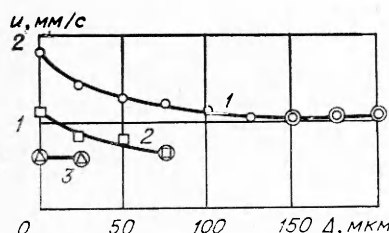


Рис. 2. Зависимость скорости горения зарядов ПХА — ПММА от толщины пленки ПК, помещенной между пластинами окислителя и горючего.

$p$ , атм: 1 — 20, 2 — 10, 3 — 5.

Ингибирующие свойства пленок ПК, ФП-4 и ПЭТФ при горении системы ПММА—ПХА связаны с их способностью в рассматриваемых условиях образовывать на поверхности слой коксового остатка, который препятствует диффузии продуктов газификации горючего и окислителя к зоне горения, что приводит к затуханию заряда. Коксовый остаток на поверхности слоя горючего наблюдается для всех трех исследованных пленок (особенно для ПК).

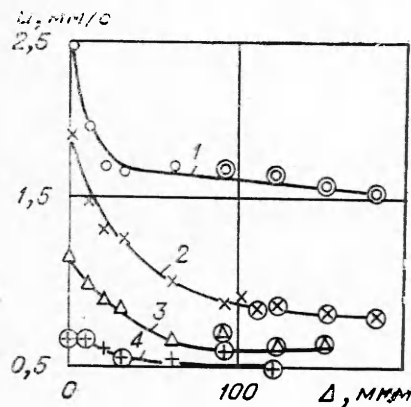


Рис. 3. Зависимость скорости горения слоевой системы ПХА—ПММА от толщины пленки ФП-4 между пластинаами окислителя и горючего.

$p$ , атм: 1 — 30, 2 — 20, 3 — 10, 4 — 5.

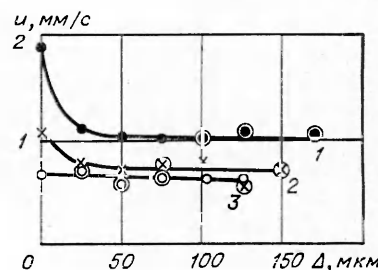


Рис. 4. Зависимость скорости горения слоевой системы ПХА—ПММА от толщины пленки ПЭТФ между пластинаами окислителя и горючего.

$p$ , атм: 1 — 20, 2 — 10, 3 — 5.

**Угол выгорания в пластинах горючего и окислителя.** В [3] был измерен профиль выемки в пластине ПММА, которая горела (при  $p=1$  атм) в контакте со слоем  $KClO_4$  и гасилась струей воды. Было показано, что при увеличении  $u$  (за счет уменьшения толщины слоя окислителя между двумя пластинаами ПММА) угол выгорания  $\phi$  становится более острым (т. е. глубина выемки при  $x=\text{const}$  уменьшается).

В [20] профиль выемки в пластине ПММА (для системы ПММА— $KClO_4$ ) был исследован подробнее. Прослежено уменьшение угла выгорания  $\phi$  при росте скорости горения за счет увеличения давления (в пределах от 5 до 30 атм) или за счет уменьшения плотности слоя окислителя. При аппроксимации профиля выемки с помощью степенной функции  $x=ay^n$  (где ось  $x$  направлена вдоль поверхности контакта компонентов в сторону, противоположную направлению распространения пламени, а ось  $y$  — в глубь пластины горючего)  $n=1,41 \div 2,43$  (теория [5] дает  $n=2$ ).

В данной работе для слоевых систем на основе ПХА проведены одновременные измерения угла выгорания в пластинах горючего и в слое окислителя. На рис. 5 приведены экспериментальные профили выемок в слое ПХА и ПММА при различных

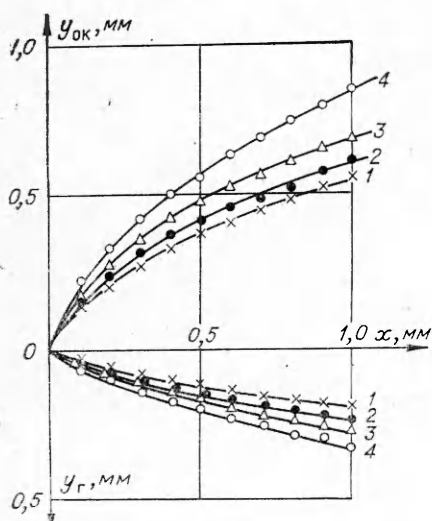


Рис. 5. Профили выемок в слоях ПХА—ПММА при различных давлениях.

$p$ , атм: 1 — 30, 2 — 20, 3 — 10, 4 — 5.

Таблица 2

x, мм	Давление, атм							
	5		10		20		30	
	$\varphi_{\text{ок}}$	$\varphi_{\text{г}}$	$\varphi_{\text{ок}}$	$\varphi_{\text{г}}$	$\varphi_{\text{ок}}$	$\varphi_{\text{г}}$	$\varphi_{\text{ок}}$	$\varphi_{\text{г}}$
0,1	51	24	46	22	41	22	41	19
0,2	48	21	42	17	37	17	34	13
0,3	43	19	38	16	32	16	31	12
0,4	38	18	37	15	27	13	26	11
0,5	33	18	29	15	27	12	23	9
0,6	32	18	27	12	26	11	21	8
0,7	31	16	26	11	23	10	20	8
0,8	30	14	25	10	22	10	19	8
0,9	29	14	21	10	22	10	19	8
1,0	29	14	19	10	22	10	18	8

П р и м е ч а н и е.  $\varphi_{\text{ок}}, \varphi_{\text{г}}$  (в град) — углы, образуемые касательной к сгоревшей поверхности окислителя, горючего и поверхностью их раздела.

давлениях. Значения углов выгорания  $\varphi_{\text{ок}}$  и  $\varphi_{\text{г}}$ , рассчитанные по этим профилям, приведены в табл. 2.

Исходя из данных рис. 5 и табл. 2 можно сделать следующие выводы:

1) глубина выемки (и угол выгорания) в слое ПХА значительно больше, чем в слое ПММА (глубина выемки — в 2,5—3 раза, угол выгорания — в 2—3 раза);

2) глубина выемки и угол выгорания (при  $x=\text{const}$ ) уменьшаются при увеличении скорости горения (за счет увеличения давления) — в согласии с [20]. Физический смысл данного результата состоит в том, что при увеличении скорости горения уменьшается время  $t=x/u$ , в течение которого поток тепла от пламени действует на элемент поверхности выемки, находящийся на данном расстоянии  $x$  от вершины выемки. В качестве примера в табл. 3 приведены данные для глубины выемки в слое окислителя ( $y_{\text{ок}}$ ) и горючего ( $y_{\text{г}}$ );

3) по мере увеличения расстояния от вершины выемки угол выгорания в слое окислителя и в слое горючего уменьшается;

4) если сравнить глубину выемки в слое ПММА для системы ПХА — ПММА [20] и для системы  $\text{KClO}_4$  — ПММА [20], то при одинаковых давлениях и  $x=1$  мм они близки (исключение составляют данные при  $p=30$  атм):

	$y_{\text{г}}, \text{мм}$			
	5 атм	10 атм	20 атм	30 атм
$\text{KClO}_4$ — ПММА [20]	~0,32	~0,32	~0,29	~0,27
ПХА — ПММА	0,34	0,27	0,25	0,19

Система  $\text{KClO}_4$  — ПММА горит быстрее, чем ПХА — ПММА. Поэтому, если проводить сравнение при  $u=\text{const}$ , разница в величине  $y_{\text{г}}$  для

Таблица 3

$p, \text{атм}$	$u, \text{мм/с}$	$y_{\text{ок}}$		$y_{\text{г}}$	
		$x=0,2 \text{ мм}$	$x=1 \text{ мм}$	$x=0,2 \text{ мм}$	$x=1 \text{ мм}$
5	0,63	0,32	0,85	0,09	0,34
10	1,16	0,26	0,69	0,08	0,27
20	1,90	0,22	0,61	0,08	0,24
30	2,40	0,21	0,56	0,06	0,19

этих систем увеличивается (выемка в первом случае существенно глубже, чем во втором).

В координатах  $\lg x, \lg y$  экспериментальные точки для системы ПХА—ПММА удовлетворительно группируются около прямых, т. е. профили выемок удовлетворительно аппроксимируются степенной функцией  $x=ay^n$ . При  $x=0,1 \div 1$  мм получены следующие значения показателя  $n$ :

	5 атм	10 атм	30 атм
ПХА	1,66	1,62	1,37
ПММА	1,23	1,38	1,38

Исследованную зону  $x \leq 1$  мм следует рассматривать как зону «носика» пламени. Соответственно к ней неприменимо теоретическое значение  $n=2$ , справедливое лишь вдали от «носика».

Одновременное измерение угла выгорания в слое окислителя и в слое горючего позволило вычислить среднее соотношение компонентов в зоне горения на различных расстояниях от вершины выемки. Если на длине  $\Delta x$  глубина выемок увеличивается на  $\Delta y_{\text{ок}}$  и  $\Delta y_{\text{г}}$ , то масса окислителя и горючего, которые газифицировались на длине  $\Delta x$ , равна соответственно  $\Delta x \cdot \Delta y_{\text{ок}} / 2 \cdot \rho_{\text{ок}}$  и  $\Delta x \Delta y_{\text{г}} / 2 \cdot \rho_{\text{г}}$ . Величина  $\alpha$  вычисляется по уравнению

$$\begin{aligned} \alpha &= (m_{\text{ок}}/m_{\text{г}}) : (m_{\text{ок}}/m_{\text{г}})_{\text{стех}} = \Delta y_{\text{ок}}/\Delta y_{\text{г}} \cdot \rho_{\text{ок}}/\rho_{\text{г}} \cdot (m_{\text{г}}/m_{\text{ок}})_{\text{стех}} = \\ &= (\tan \varphi_{\text{ок}}/\tan \varphi_{\text{г}}) \cdot [\rho_{\text{ок}}/\rho_{\text{г}} \cdot (m_{\text{г}}/m_{\text{ок}})_{\text{стех}}]. \end{aligned} \quad (1)$$

Для системы ПХА—ПММА по формуле (1) были вычислены значения  $\alpha$  при различных давлениях и на различных расстояниях  $x$  от вершины выемок. В пределах разброса экспериментальных данных влияние давления на  $\alpha$  не прослеживается. При  $x=0,2$  мм  $\alpha = 0,69 \div 0,84$ ; при  $x=1$  мм разброс был значительно меньше:  $\alpha = 0,62 \div 0,67$ . Если рассчитывать  $\alpha$  на основе весовых количеств окислителя и горючего, которые газифицируются в данном сечении, то вблизи «носика» ( $x \leq 1$  мм) смесь значительно обогащена горючим. Возможно, что на достаточно большом расстоянии от «носика»  $\alpha$  приблизится к единице (в теории диффузионного горения обычно допущение, что в пламени реагирует стехиометрическая смесь).

Зная углы выгорания, можно вычислить также скорость газификации окислителя  $w_{\text{ок}}$  и горючего  $w_{\text{г}}$ , используя соотношение

$$w = u \cdot \sin \varphi. \quad (2)$$

Значения  $w_{\text{ок}}$  и  $w_{\text{г}}$  для системы ПХА—ПММА приведены в табл. 4, данные которой приводят к следующим выводам:

- 1) скорость газификации для ПХА в 2—2,5 раза больше, чем для ПММА;
- 2) скорости газификации ПХА и ПММА убывают по мере увеличения  $x$  (быстро при малых  $x$  и очень медленно при больших);
- 3) при  $x \leq 1$  мм скорости газификации ПХА и ПММА увеличиваются с ростом давления. Данный результат свидетельствует о том, что в области  $x=1$  мм горение носит кинетический характер. Если аппроксимировать зависимость  $w(p)$  степенной функцией  $w=b p^v$ , то для ПХА  $v=0,55 \pm 0,05$ . Для ПММА зависимость  $w(p)$  удается аппроксимировать степенной функцией лишь при  $p=5 \div 20$  атм; точка при  $p=30$  атм в координатах  $\lg w, \lg p$  лежит существенно ниже прямой  $\lg w = \lg b + v \lg p$  (т. е. при  $p > 20$  атм зависимость  $w(p)$  ослабляется). Значение  $v_{5-20 \text{ атм}}$  лежит в интервале  $0,5 \div 0,7$ ;

Таблица 4

x, мм	Давление, атм							
	5		10		20		30	
	$w_{ок}$	$w_g$	$w_{ок}$	$w_g$	$w_{ок}$	$w_g$	$w_{ок}$	$w_g$
0,1	0,49	0,26	0,84	0,43	1,25	0,70	1,56	0,77
0,2	0,46	0,23	0,78	0,34	1,14	0,55	1,34	0,55
0,3	0,44	0,20	0,72	0,31	0,99	0,51	1,21	0,48
0,4	0,39	0,20	0,70	0,30	0,85	0,42	1,05	0,46
0,5	0,35	0,20	0,58	0,29	0,85	0,40	0,94	0,36
0,6	0,34	0,20	0,51	0,24	0,84	0,38	0,84	0,34
0,7	0,33	0,17	0,51	0,22	0,72	0,34	0,82	0,34
0,8	0,33	0,15	0,50	0,21	0,70	0,34	0,79	0,34
0,9	0,32	0,15	0,41	0,21	0,70	0,34	0,77	0,34
1,0	0,30	0,15	0,40	0,21	0,70	0,34	0,77	0,34

Примечание.  $w_{ок}$  и  $w_g$  даны в мм/с.

4) если сравнить данные для системы ПХА — ПММА и  $KClO_4$  — ПММА [20], то при одинаковых давлениях и глубине выгорания  $y_g$  скорость газификации ПММА в системе  $KClO_4$  — ПММА примерно в 2,5 раза выше, чем в системе ПХА — ПММА (табл. 5). Примерно такая же разница получается, если проводить сравнение при одинаковом расстоянии  $x$  от вершины выемки.

Зависимость  $w_g(p)$  для системы  $KClO_4$  — ПММА существенно слабее, чем для системы ПХА — ПММА. При глубине выгорания пластины ПММА (контактирующей с пластиной  $KClO_4$ ), равной  $y_g = 0,3 \div 0,4$  мм,  $v_{10-25 \text{ atm}} = 0,15 \div 0,2$  (в то время как в системе ПХА — ПММА  $v_{5-20 \text{ atm}} = 0,5 \div 0,7$ );

5) сравним скорость газификации ПММА в условиях слоевой системы ПХА — ПММА и при горении цилиндрического канала в блоке ПММА (по каналу подавался газообразный кислород). По данным [24], величина  $w_g$  при  $p=20$  атм и минимальной исследованной плотности потока кислорода ( $10 \text{ г}/(\text{см}^2 \cdot \text{с})$ ) составляла  $\sim 0,4$  мм/с, в то время как в слоевой системе (при  $p=20$  атм) величина  $w_g$  лежала в пределах от 0,7 мм/с при  $x=0,1$  мм до 0,34 мм/с при  $x=1$  мм. Таким образом, в слоевой системе ПХА — ПММА скорость газификации ПММА вблизи «носика» пламени может быть выше, чем при горении ПММА в газообразном кислороде, тем более, что в условиях слоевой системы плотность потока окислителя очень мала.

Величину  $(\rho v)_{\text{пхд}}$  можно оценить как  $(\rho v)_{\text{пхд}} = \rho_{\text{ок}} u \cdot y_{\text{ок}} / y_{\text{ок}} + y_g$ . При  $p=20$  атм получим  $(\rho v)_{\text{пхд}} \approx 0,25 \text{ г}/(\text{см}^2 \cdot \text{с})$ , что на полтора порядка ниже, чем минимальная плотность потока кислорода в [24]. При горении цилиндрического канала в блоке ПММА  $w_g \sim (\rho v)_{\text{ок}}^{0,4-0,5}$  в области  $(\rho v)_{\text{ок}} = 10-50 \text{ г}/(\text{см}^2 \cdot \text{с})$ , однако вид зависимости  $w_g = f[(\rho v)_{\text{ок}}]$  при очень малых  $(\rho v)_{\text{ок}}$  не исследован. Зависимость  $w_g(p)$  в [24] была слабой ( $v \approx 0,1$ ). При  $p=5$  атм  $w_g \approx 0,35$  мм/с, а в условиях слоевой системы ПХА — ПММА  $w_g = 0,26$  мм/с при  $x=0,1$  мм.

Результаты, полученные в этом разделе, свидетельствуют о том, что

Таблица 5

$p$ , атм	Окисли-тель	$y_g$ , мм	$w_g$ , мм/с
10	ПХА	0,19	0,24
	»	0,23	0,21
	$KClO_4$	0,20	0,60
	ПХА	0,27	0,21
30	$KClO_4$	0,30	0,50
	ПХА	0,19	0,33
	$KClO_4$	0,20	0,81

при горении зарядов ПХА—ПММА, изученных в данной работе, при давлении  $p \leq 30$  атм ведущую роль играло пламя горючее—окислитель. Скорость газификации ПХА монотонно убывала по мере удаления от вершины выемки (при  $x=1$  мм и  $p=30$  атм  $w_{\text{ок}}$  составляла  $\sim 0,8$  мм/с). Образцы ПХА, использованные в данной работе, имели нижний предел самостоятельного горения  $p_{\text{n}} > 30$  атм. Из ряда работ (см. обзор в [25]) известно, что величина  $p_{\text{n}}$  весьма чувствительна к изменению параметров ПХА (например, дисперсности исходного порошка) и условий горения.

В [14, 15] максимальная скорость горения (при  $p \geq 20$ —35 атм) образцов ПХА—полиуретан и ПХА—полибутиадиен наблюдалась в слое ПХА на расстоянии  $\geq 300$ —500 мкм от поверхности контакта горючего и окислителя (однако в системе катализированный ПХА—полибутиадиен «носик» пламени двигался вдоль поверхности контакта [17]). Расхождение между результатами [14, 15] и данной работы может быть связано с различием в величине  $p_{\text{n}}$ , а также с влиянием природы горючего.

Были измерены профили выемок для систем, где между пластинами ПХА и ПММА были помещены пленки ПК и ФП-4 (рис. 6, 7). Чем толще были пленки ПК или ФП-4, тем ниже была скорость горения и тем глубже была выемка в слое ПХА.

Из сравнения рис. 6, 7 с рис. 5 следует, что снижение скорости горения за счет введения пленок ПК или ФП-4 увеличивало глубину выемки в слое ПХА гораздо сильнее, чем такое же снижение скорости горения за счет уменьшения давления. Это связано с тем, что в системе ПХА—ПММА помимо пламени горючее—окислитель имеется пламя продуктов газификации ПХА ( $\text{NH}_3 + \text{HClO}_4$ ). Если скорость «носика» снижается за счет введения пленок при  $p = \text{const}$ , то характеристики пламени  $\text{NH}_3 + \text{HClO}_4$  остаются без изменений. Если же скорость «носика» снижается за счет уменьшения давления, то

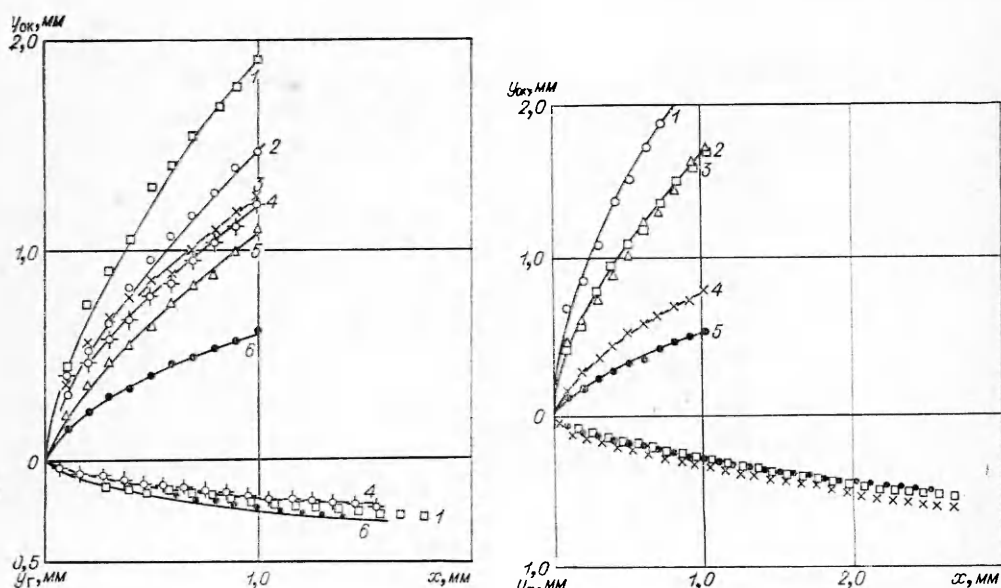


Рис. 6. Профили выемок зарядов ПХА—ПК—ПММА, погашенных при различных толщинах пленки ПК между пластинами окислителя и горючего ( $p=20$  атм).  
 $\Delta_{\text{ПК}}, \text{мкм}: 1 - 150, 2 - 100, 3 - 75, 4 - 50;$   
 $5 - 25; 6 - \text{без пленок}.$

Рис. 7. Профили выемок зарядов ПХА—ФП-4—ПММА, погашенных при различных толщинах пленки ФП-4 между пластинами окислителя и горючего ( $p=20$  атм).  
 $\Delta_{\text{ФП-4}}, \text{мкм}: 1 - 150, 2 - 120, 3 - 90, 4 - 30;$   
 $5 - \text{без пленки}.$

уменьшается и скорость тепловыделения в пламени  $\text{NH}_3 + \text{HClO}_4$ . В первом случае при введении пленок скорость газификации ПХА при данной скорости «носика» будет выше (и соответственно глубина выемки будет больше), чем во втором случае.

В отличие от угла выгорания в слое ПХА угол выгорания в слое ПММА в пределах экспериментального разброса не изменялся при введении тонких пленок на поверхность контакта компонентов (см. рис. 6, 7). Этот эффект, возможно, связан с тем, что, с одной стороны, при введении пленок на поверхности ПММА образуется коксовый сстаток, который снижает скорость газификации ПММА (т. е. уменьшает глубину выемки при данном  $x$ ); с другой стороны, пленки снижают скорость горения и соответственно увеличивают время воздействия пламени горючее — окислитель на каждый элемент поверхности ПММА, что увеличивает глубину выгорания. По-видимому, для рассматриваемых систем противоположное влияние этих факторов компенсируется.

Институт химической физики  
АН СССР, Москва

Поступила в редакцию  
10/III 1976

#### ЛИТЕРАТУРА

1. Н. Н. Бахман. Докл. АН СССР, 1959, **129**, 5, 1079.
2. Н. Н. Бахман, Д. П. Поликарпов. Изв. АН СССР, ОТН. Энергетика и автоматика, 1961, **4**, 37.
3. Д. П. Поликарпов, Н. Н. Бахман. ИФЖ, 1962, **5**, 7, 11.
4. W. Nachbag. Solid Propellant Rocket Research (Ed. M. Summerfield), Academic Press, N. Y., 1960, p. 207.
5. В. Б. Либрович. ПМТФ, 1962, **4**, 33.
6. Б. В. Новожилов. ЖФХ, 1962, **36**, 11, 2508.
7. W. Nachbag, G. B. Cline. 5-th AGARD Colloquium, Macmillan Co., N. Y., 1963, p. 551.
8. J. B. Fenn. Combust. Flame, 1968, **12**, 3, 201.
9. J. D. Hightower, E. W. Price. Astronautica Acta, 1968, **14**, 1, 11.
10. L. Nadaud. Combust. Flame, 1968, **12**, 3, 177.
11. Б. С. Ермолаев, А. И. Коротков, Ю. В. Фролов. ФГВ, 1969, **5**, 2, 286.
12. Б. С. Ермолаев, А. И. Коротков, Ю. В. Фролов. ФГВ, 1970, **6**, 3, 277.
13. M. Hertzberg. Oxid. Combust. Revs., 1971, **5**, 1, 1.
14. A. M. Varguey, W. C. Strahle. Combust. Sci. Techn., 1972, **4**, 5, 197.
15. T. L. Bogg, D. E. Zurn. Combust. Sci. Techn., 1972, **4**, 6, 279.
16. W. E. Brown, J. R. Kennedy, D. W. Netzer. Combust. Sci. Techn., 1972, **6**, 4, 211.
17. H. E. Jones, W. C. Strahle. 14-th Symposium (International) on Combustion, The Combustion Institute, 1973, p. 1287.
18. J. L. Murphy, D. W. Netzer. AIAA J., 1974, **12**, 1, 13.
19. J. C. Handley, W. S. Strahle. AIAA Paper, 1974, № 74—122; AIAA J., 1975, **13**, 1, 5.
20. Б. Ф. Широков, Н. Н. Бахман. ФГВ, 1972, **8**, 2, 247.
21. В. С. Никифоров, Н. Н. Бахман. ФГВ, 1972, **8**, 4, 505.
22. В. С. Никифоров, Н. Н. Бахман. ФГВ, 1969, **5**, 2, 270.
23. В. И. Авдюнин, Н. Н. Бахман и др. Изв. вузов. Химия и хим. технология, 1971, **14**, 5, 666.
24. Ю. С. Кичин, С. А. Осветимский, Н. Н. Бахман. ФГВ, 1973, **9**, 3, 384.
25. Н. Н. Бахман, А. Ф. Беляев. Горение гетерогенных конденсированных систем. М., «Наука», 1967.